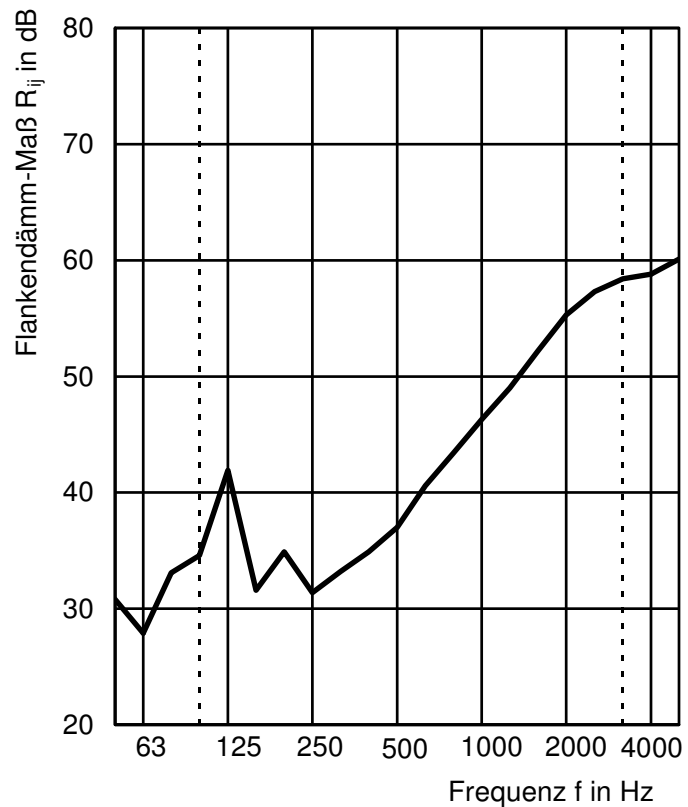


### Horizontaler T-Stoß, Decke durchlaufend

Aufbauvariante	1a_A_06	
Flanke	160 mm BSP	$m' = 74 \text{ kg/m}^2$
Trennwand	140 mm BSP	$m' = 69 \text{ kg/m}^2$
$m'_{\text{Wand}} / m'_{\text{Decke}}$	0,93	
Kopplungslänge	$l_{ij} = 4,3 \text{ m}$	
Bauteilfläche Trennwand	$S_{Dd} = 10,8 \text{ m}^2$	
Bauteilfläche Flanke SR	$S_F = 20 \text{ m}^2$	
Bauteilfläche Flanke ER	$S_f = 21,5 \text{ m}^2$	
Empfangsraumvolumen	$V_E = 63,8 \text{ m}^3$	
Senderraumvolumen	$V_S = 65,2 \text{ m}^3$	

Bewertetes Flankendämm-Maß  $R_{Ff,w} = 43 \text{ dB}$

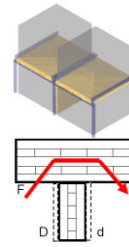
X26	
f in Hz	$R_{Ff}$ in dB
50	30,8
63	27,9
80	33,1
100	34,6
125	41,9
160	31,6
200	34,9
250	31,4
315	33,2
400	34,9
500	37,0
630	40,6
800	43,4
1000	46,3
1250	49,0
1600	52,2
2000	55,3
2500	57,3
3150	58,4
4000	58,8
5000	60,1



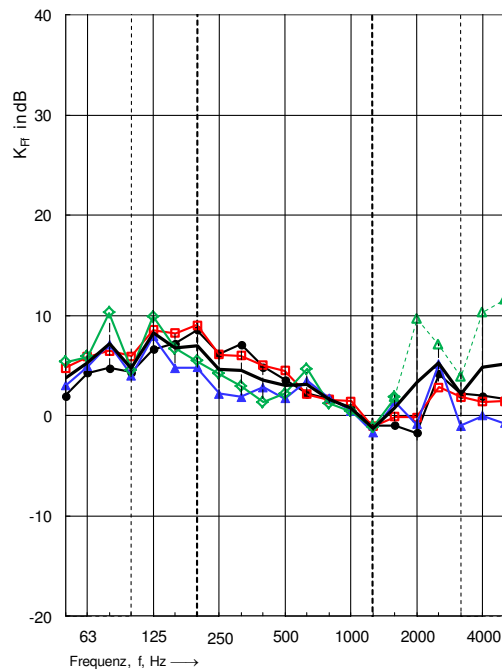
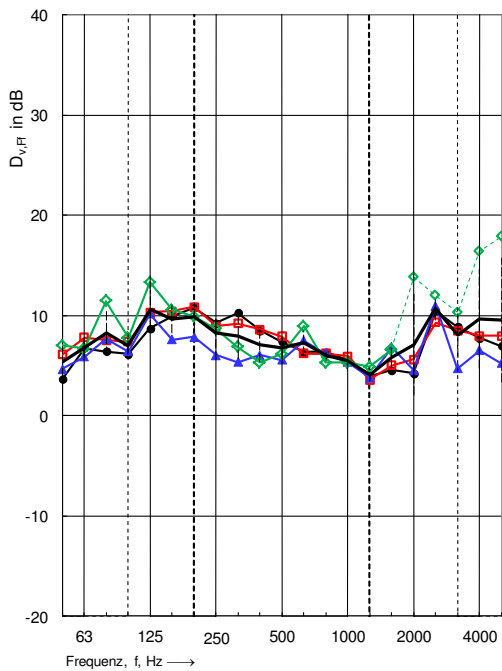
— Flankendämm-Maß  $R_{Ff}$

### Kopplungsgrößen Stoßtyp 1a\_A, Übertragungsweg Ff:

Prüf.Nr.:	Flanke	Trennwand	m <sup>2</sup> Wand/ m <sup>2</sup> Decke	Abmessungen
1a_A_01	160 BSP	80 BSP	0,53	$l_{ij} = 4,3 \text{ m}$
1a_A_04	160 BSP	12,5 GK/ 80 BSP / 12,5 GK	0,80	$S_{Dd} = 10,8 \text{ m}^2$
1a_A_06	160 BSP	140 BSP	0,93	$S_F = 21,5 \text{ m}^2$
1a_A_08	160 BSP	2x18 GF /140 BSP /2x18 GF	2,14	$S_I = 20 \text{ m}^2$



D <sub>v,Ff</sub> in dB							K <sub>Ff</sub> in dB						
f in Hz	D <sub>v,Ff</sub> in dB				$\bar{x}$	$\sigma$	f in Hz	K <sub>Ff</sub> in dB				$\bar{x}$	$\sigma$
50	6,1	3,6	4,7	7,0	5,3	1,5	50	4,7	2,0	3,0	5,4	3,8	1,6
63	7,8	6,7	5,8	6,7	6,8	0,8	63	5,9	4,3	4,9	5,9	5,2	0,8
80	7,5	6,4	7,6	11,4	8,2	2,2	80	6,5	4,8	7,1	10,3	7,1	2,3
100	7,4	6,1	6,4	7,8	6,9	0,8	100	5,9	4,3	4,0	4,5	4,7	0,8
125	10,3	8,7	10,2	13,3	10,6	1,9	125	8,6	6,6	7,9	9,9	8,2	1,4
160	10,4	10,0	7,6	10,5	9,6	1,4	160	8,2	7,2	4,7	6,7	6,7	1,5
200	10,8	10,8	7,8	9,9	9,8	1,4	200	9,0	8,5	4,8	5,4	6,9	2,1
250	8,9	9,2	6,0	8,7	8,2	1,5	250	6,1	6,1	2,2	4,2	4,6	1,9
315	9,2	10,3	5,3	6,9	7,9	2,2	315	6,0	7,1	1,9	2,9	4,5	2,5
400	8,6	8,5	6,1	5,3	7,1	1,7	400	5,0	4,9	2,8	1,3	3,5	1,8
500	7,9	7,4	5,6	6,2	6,7	1,1	500	4,5	3,6	1,7	2,2	3,0	1,3
630	6,2	6,4	7,5	8,9	7,2	1,3	630	2,1	2,2	3,4	4,6	3,1	1,2
800	6,2	6,3	6,2	5,3	6,0	0,5	800	1,6	1,7	1,8	1,2	1,6	0,3
1000	5,9	5,5	5,3	5,3	5,5	0,3	1000	1,4	0,7	0,5	0,4	0,8	0,5
1250	3,6	3,9	3,8	4,9	4,0	0,6	1250	-1,1	-1,0	-1,6	-1,2	-1,2	0,3
1600	5,0	4,5	6,8	6,6	5,7	1,1	1600	-0,1	-1,0	1,4	1,8	0,8	1,3
2000	5,6	4,2	4,5	13,9	7,1	5,0	2000	-0,1	-1,7	-0,8	8,6	3,3	5,8
2500	9,3	10,5	11,0	12,0	10,7	1,1	2500	2,8	4,1	5,2	7,1	5,3	1,9
3150	8,5	8,8	4,7	10,3	8,1	2,3	3150	1,9	2,2	-1,0	3,9	2,2	2,0
4000	7,9	7,7	6,5	16,4	9,6	4,9	4000	1,4	2,0	0,0	10,3	4,8	5,1
5000	8,0	6,9	5,2	17,9	9,5	6,2	5000	1,5	1,7	-0,7	11,6	5,1	6,0
D <sub>v,Ff,n</sub>	0,6	0,7	-0,9	0,0	0,1		K <sub>Ff</sub>	3,8	3,8	1,9	2,3	3,0	

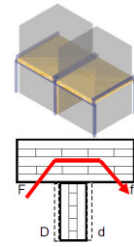


**Abbildung 1**  $D_{v,ij}$ ,  $K_{ij}$ : Horizontaler T-Stoß BSP-Decke durchlaufend, Trennbauteil z.T. mit Beplankung, Messdaten  $D_{v,Ff}$  mit zugehörigen Messkurven (links), Messdaten  $K_{Ff}$  mit zugehörigen Messkurven (rechts)

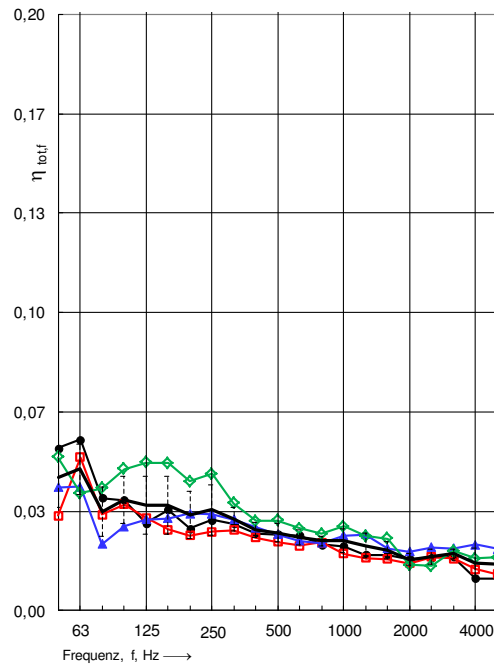
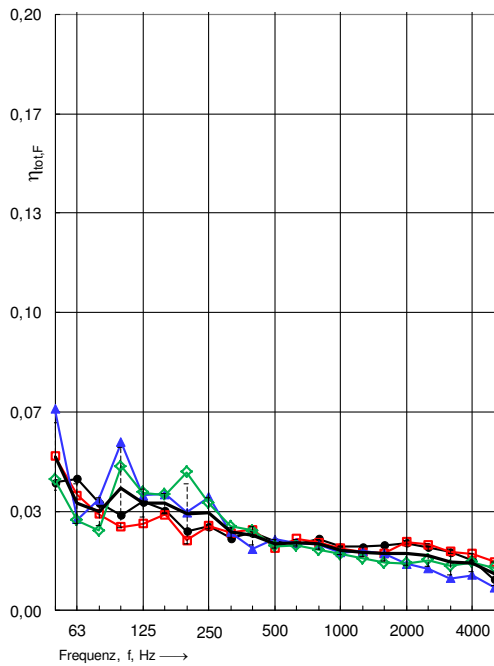


**Gesamt Verlustfaktoren der Stoßbauteile, Stoßtyp 1a\_A, Übertragungsweg Ff:**

Prüf.Nr.:	Flanke	Trennwand	$m^2_{Wand} / m^2_{Decke}$	Abmessungen
1a_A_01	160 BSP	80 BSP	0,53	$l_{ij} = 4,3 \text{ m}$
1a_A_04	160 BSP	12,5 GK/ 80 BSP / 12,5 GK	0,80	$S_{Dd} = 10,8 \text{ m}^2$
1a_A_06	160 BSP	140 BSP	0,93	$S_F = 21,5 \text{ m}^2$
1a_A_08	160 BSP	2x18 GF /140 BSP /2x18 GF	2,14	$S_i = 20 \text{ m}^2$



f in Hz	$\eta_{tot,F}$				$\bar{x}$	$\sigma$	f in Hz	$\eta_{tot,f}$				$\bar{x}$	$\sigma$
50	0,052	0,043	0,068	0,044	0,052	0,011	50	0,032	0,055	0,041	0,051	0,045	0,010
63	0,039	0,044	0,031	0,030	0,036	0,007	63	0,051	0,057	0,042	0,039	0,047	0,008
80	0,032	0,036	0,037	0,027	0,033	0,005	80	0,032	0,038	0,022	0,041	0,033	0,008
100	0,028	0,032	0,056	0,048	0,041	0,013	100	0,036	0,037	0,028	0,048	0,037	0,008
125	0,029	0,037	0,039	0,040	0,036	0,005	125	0,031	0,029	0,031	0,050	0,035	0,010
160	0,032	0,034	0,039	0,039	0,036	0,004	160	0,027	0,034	0,031	0,050	0,035	0,010
200	0,024	0,027	0,033	0,046	0,032	0,010	200	0,025	0,028	0,033	0,043	0,032	0,008
250	0,028	0,028	0,038	0,036	0,033	0,005	250	0,027	0,030	0,032	0,046	0,034	0,008
315	0,026	0,024	0,026	0,028	0,026	0,002	315	0,027	0,029	0,031	0,036	0,031	0,004
400	0,027	0,026	0,021	0,027	0,025	0,003	400	0,024	0,026	0,028	0,030	0,027	0,002
500	0,021	0,023	0,024	0,022	0,022	0,001	500	0,023	0,026	0,026	0,030	0,026	0,003
630	0,024	0,022	0,023	0,022	0,023	0,001	630	0,022	0,025	0,024	0,028	0,025	0,002
800	0,023	0,024	0,022	0,020	0,022	0,002	800	0,023	0,022	0,023	0,026	0,023	0,002
1000	0,021	0,021	0,019	0,019	0,020	0,001	1000	0,019	0,022	0,025	0,028	0,024	0,004
1250	0,020	0,021	0,020	0,017	0,020	0,002	1250	0,018	0,019	0,026	0,025	0,022	0,004
1600	0,019	0,022	0,019	0,016	0,019	0,002	1600	0,017	0,019	0,021	0,024	0,020	0,003
2000	0,023	0,023	0,016	0,016	0,019	0,004	2000	0,016	0,017	0,020	0,015	0,017	0,002
2500	0,022	0,021	0,014	0,017	0,019	0,004	2500	0,018	0,018	0,021	0,015	0,018	0,003
3150	0,020	0,020	0,011	0,015	0,016	0,004	3150	0,018	0,018	0,021	0,020	0,019	0,002
4000	0,019	0,017	0,012	0,016	0,016	0,003	4000	0,014	0,011	0,022	0,018	0,016	0,005
5000	0,017	0,011	0,008	0,015	0,012	0,004	5000	0,012	0,011	0,021	0,018	0,015	0,005

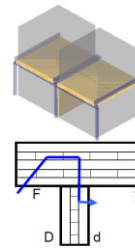


**Abbildung 2**  $\eta_{tot}$ : Horizontaler T-Stoß – BSP Decke durchlaufend, Trennbauteile z.T. mit Beplankung, Messdaten  $\eta_{tot,F}$  mit zugehörigen Messkurven (links), Messdaten  $\eta_{tot,f}$  mit zugehörigen Messkurven (rechts)

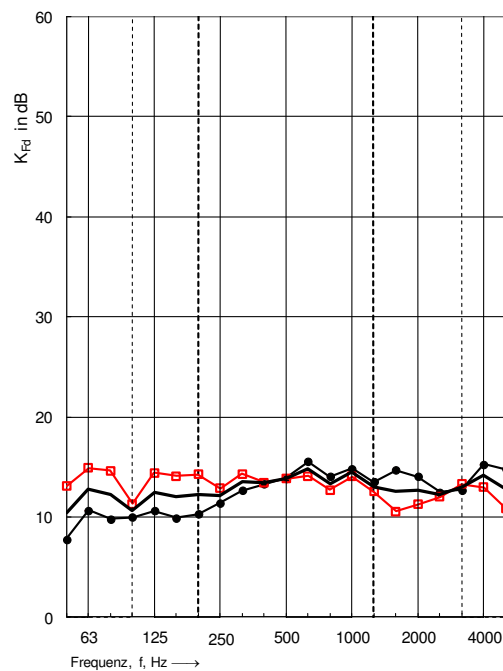
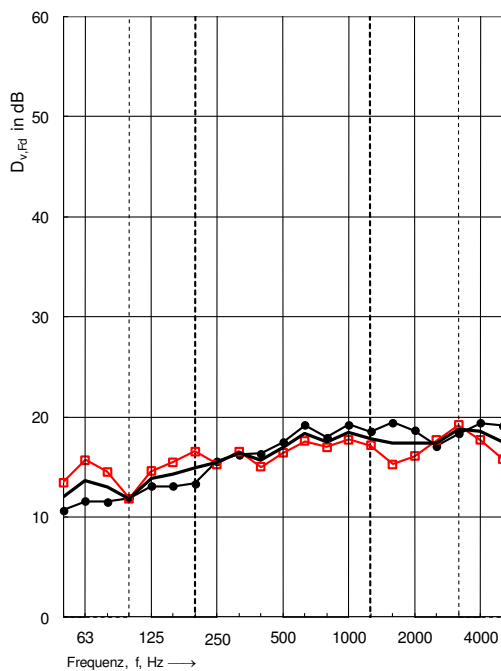
### Kopplungsgrößen Stoßtyp 1a\_A, Übertragungsweg Fd:

Prüf.Nr.:	Flanke	Trennwand	m <sup>2</sup> Wand/ m <sup>2</sup> Decke
1a_A_01	160 BSP	80 BSP	0,53
1a_A_06	160 BSP	140 BSP	0,93

Abmessungen
$l_{ij} = 4,3 \text{ m}$
$S_{Dd} = 10,8 \text{ m}^2$
$S_F = 21,5 \text{ m}^2$
$S_I = 20 \text{ m}^2$



1a_A_01				1a_A_06					
f in Hz	$D_{v,Fd}$ in dB		$\bar{x}$	$\sigma$	f in Hz	$K_{Fd}$ in dB		$\bar{x}$	$\sigma$
50	13,4	10,7	12,1		50	13,1	7,7	10,4	
63	15,7	11,6	13,7		63	14,9	10,7	12,8	
80	14,5	11,5	13,0		80	14,6	9,8	12,2	
100	11,8	11,9	11,9		100	11,3	10,0	10,6	
125	14,6	13,1	13,8		125	14,4	10,6	12,5	
160	15,5	13,1	14,3		160	14,1	9,9	12,0	
200	16,6	13,3	14,9		200	14,3	10,3	12,3	
250	15,3	15,6	15,4		250	12,9	11,4	12,1	
315	16,6	16,2	16,4		315	14,3	12,6	13,5	
400	15,0	16,3	15,7		400	13,5	13,3	13,4	
500	16,4	17,5	16,9		500	13,8	13,9	13,8	
630	17,6	19,2	18,4		630	14,1	15,6	14,8	
800	17,0	18,0	17,5		800	12,7	14,0	13,4	
1000	17,8	19,2	18,5		1000	14,1	14,8	14,4	
1250	17,1	18,5	17,8		1250	12,5	13,5	13,0	
1600	15,3	19,5	17,4		1600	10,5	14,7	12,6	
2000	16,1	18,6	17,3		2000	11,3	14,0	12,7	
2500	17,7	17,1	17,4		2500	12,0	12,5	12,3	
3150	19,2	18,3	18,7		3150	13,3	12,7	13,0	
4000	17,7	19,4	18,5		4000	13,0	15,3	14,1	
5000	15,8	19,1	17,4		5000	10,9	14,8	12,8	
$D_{v,Fd,n}$	11,1	11,6	11,3		$K_{Fd}$	13,6	13,3	13,4	

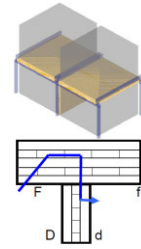


**Abbildung 3**  $D_{v,ij}$  :  $K_{ij}$  : Horizontaler T-Stoß – BSP Decke durchlaufend, ohne Beplankung: Messdaten  $D_{v,Fd}$  mit zugehörigen Messkurven (links); Messdaten  $K_{Fd}$  mit zugehörigen Messkurven (rechts)

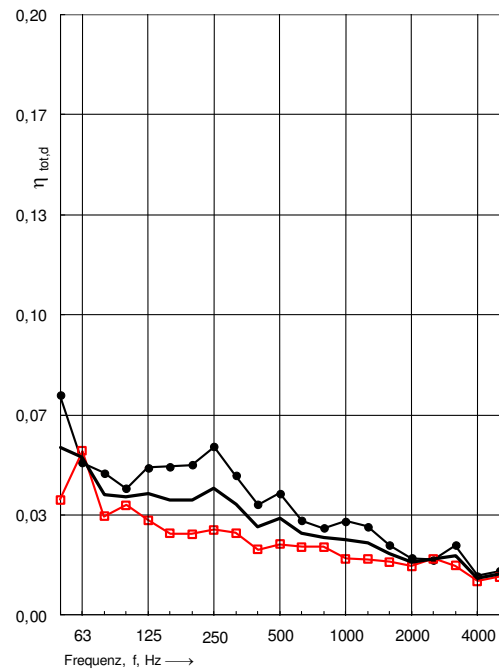
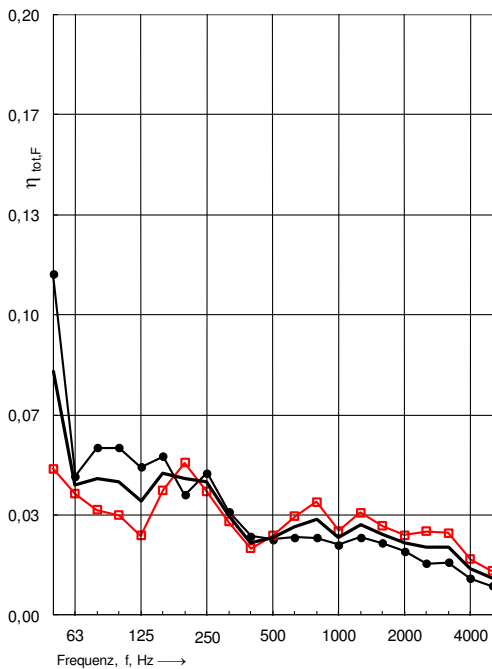


**Gesamt Verlustfaktoren der Stoßbauteile, Stoßtyp 1a\_A, Übertragungsweg Fd:**

Prüf.Nr.:	Flanke	Trennwand	$m^2_{Wand} / m^2_{Decke}$	Abmessungen
1a_A_01	160 BSP	80 BSP	0,53	$l_{ij} = 4,3 \text{ m}$
1a_A_06	160 BSP	140 BSP	0,93	$S_{Dd} = 10,8 \text{ m}^2$
				$S_F = 21,5 \text{ m}^2$
				$S_i = 20 \text{ m}^2$



1a_A_01					1a_A_06				
f in Hz	$\eta_{tot,F}$		$\bar{x}$	$\sigma$	f in Hz	$\eta_{tot,d}$		$\bar{x}$	$\sigma$
50	0,049	0,114	0,081		50	0,038	0,073	0,056	
63	0,040	0,046	0,043		63	0,055	0,051	0,053	
80	0,035	0,056	0,045		80	0,033	0,047	0,040	
100	0,033	0,056	0,045		100	0,037	0,042	0,039	
125	0,026	0,049	0,038		125	0,032	0,049	0,040	
160	0,042	0,053	0,047		160	0,027	0,049	0,038	
200	0,051	0,040	0,045		200	0,027	0,050	0,038	
250	0,041	0,047	0,044		250	0,028	0,056	0,042	
315	0,031	0,035	0,033		315	0,027	0,046	0,037	
400	0,022	0,026	0,024		400	0,022	0,037	0,029	
500	0,026	0,025	0,026		500	0,024	0,041	0,032	
630	0,033	0,026	0,029		630	0,023	0,031	0,027	
800	0,038	0,026	0,032		800	0,023	0,029	0,026	
1000	0,028	0,023	0,026		1000	0,019	0,031	0,025	
1250	0,034	0,026	0,030		1250	0,019	0,030	0,024	
1600	0,030	0,024	0,027		1600	0,018	0,023	0,020	
2000	0,027	0,021	0,024		2000	0,016	0,019	0,018	
2500	0,028	0,017	0,023		2500	0,019	0,018	0,019	
3150	0,027	0,018	0,022		3150	0,017	0,023	0,020	
4000	0,019	0,012	0,015		4000	0,011	0,013	0,012	
5000	0,015	0,010	0,012		5000	0,013	0,015	0,014	

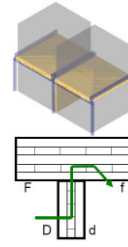


**Abbildung 4**  $\eta_{tot}$ : Horizontaler T-Stoß – BSP Decke durchlaufend, ohne B Beplankung; Messdaten  $\eta_{tot,F}$  mit zugehörigen Messkurven (links); Messdaten  $\eta_{tot,d}$  mit zugehörigen Messkurven (rechts)

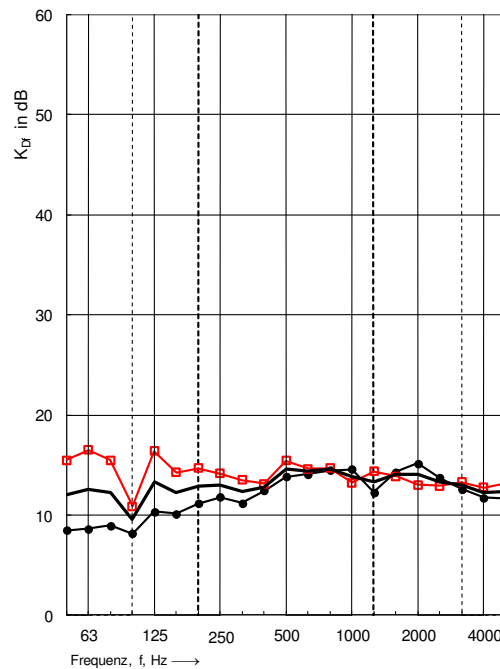
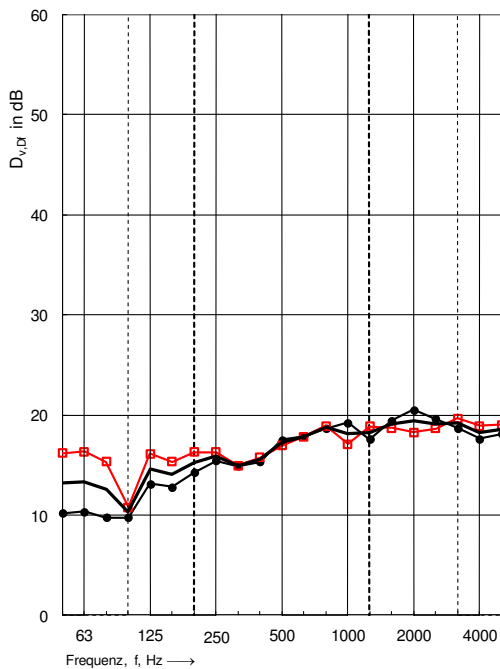
### Kopplungsgrößen Stoßtyp 1a\_A, Übertragungsweg Df:

Prüf.Nr.:	Flanke	Trennwand	m <sup>2</sup> <sub>Wand</sub> / m <sup>2</sup> <sub>Decke</sub>
1a_A_01	160 BSP	80 BSP	0,53
1a_A_06	160 BSP	140 BSP	0,93

Abmessungen
$l_{ij} = 4,3 \text{ m}$
$S_{Df} = 10,8 \text{ m}^2$
$S_F = 21,5 \text{ m}^2$
$S_I = 20 \text{ m}^2$



1a_A_01				1a_A_06					
f in Hz	$D_{v,Df}$ in dB		$\bar{x}$	$\sigma$	f in Hz	$K_{Df}$ in dB		$\bar{x}$	$\sigma$
50	16,2	10,2	13,2		50	15,5	8,5	12,0	
63	16,4	10,3	13,3		63	16,5	8,6	12,6	
80	15,3	9,7	12,5		80	15,5	8,9	12,2	
100	10,8	9,8	10,3		100	10,9	8,2	9,5	
125	16,1	13,1	14,6		125	16,4	10,3	13,4	
160	15,3	12,8	14,1		160	14,2	10,1	12,2	
200	16,3	14,2	15,3		200	14,7	11,1	12,9	
250	16,3	15,4	15,9		250	14,1	11,8	13,0	
315	15,0	14,9	14,9		315	13,5	11,2	12,3	
400	15,8	15,3	15,6		400	13,1	12,4	12,8	
500	16,9	17,5	17,2		500	15,4	13,8	14,6	
630	17,8	17,9	17,8		630	14,6	14,1	14,4	
800	18,9	18,6	18,8		800	14,7	14,5	14,6	
1000	17,1	19,2	18,2		1000	13,2	14,6	13,9	
1250	18,8	17,6	18,2		1250	14,4	12,2	13,3	
1600	18,7	19,4	19,1		1600	13,9	14,3	14,1	
2000	18,2	20,5	19,4		2000	13,0	15,1	14,1	
2500	18,7	19,6	19,1		2500	12,9	13,7	13,3	
3150	19,7	18,7	19,2		3150	13,3	12,6	13,0	
4000	18,9	17,6	18,3		4000	12,8	11,8	12,3	
5000	19,0	18,1	18,6		5000	13,2	11,6	12,4	
$D_{v,Df,n}$	11,7	11,4	11,5		$K_{Df}$	14,2	12,9	13,5	

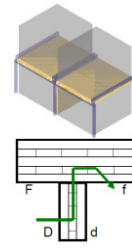


**Abbildung 5**  $\bar{D}_{v,ij}$ ,  $K_{ij}$  : Horizontaler T-Stoß – BSP Decke durchlaufend, ohne Beplankung: Messdaten  $D_{v,Df}$  mit zugehörigen Messkurven (links); Messdaten  $K_{Df}$  mit zugehörigen Messkurven (rechts).

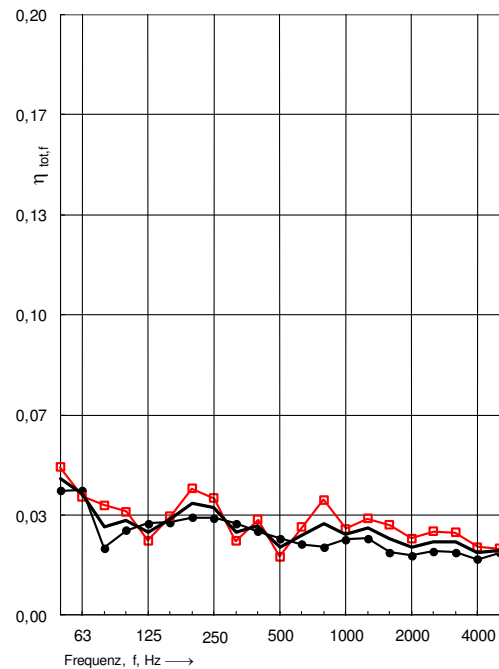
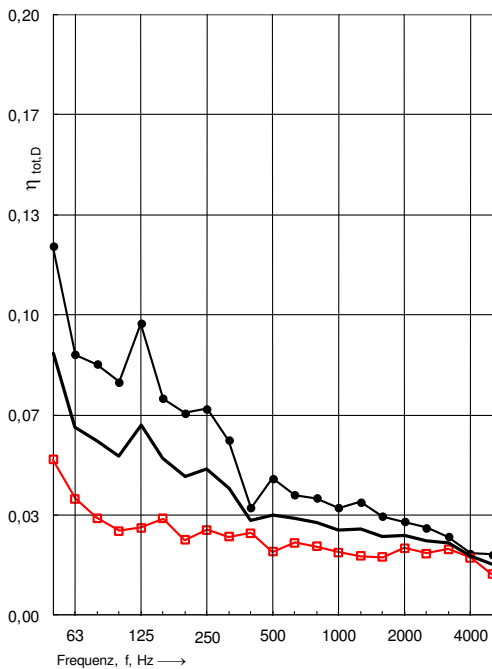


**Gesamt Verlustfaktoren der Stoßbauteile, Stoßtyp 1a\_A, Übertragungsweg Df:**

Prüf.Nr.:	Flanke	Trennwand	$m^2_{Wand} / m^2_{Decke}$	Abmessungen
1a_A_01	160 BSP	80 BSP	0,53	$l_{ij} = 4,3 \text{ m}$
1a_A_06	160 BSP	140 BSP	0,93	$S_{Dd} = 10,8 \text{ m}^2$
				$S_F = 21,5 \text{ m}^2$
				$S_j = 20 \text{ m}^2$



1a_A_01					1a_A_06				
f in Hz	$\eta_{tot,D}$	$\bar{x}$	$\sigma$		f in Hz	$\eta_{tot,f}$	$\bar{x}$	$\sigma$	
50	0,052	0,123	0,087		50	0,049	0,041	0,045	
63	0,039	0,087	0,063		63	0,040	0,042	0,041	
80	0,032	0,084	0,058		80	0,037	0,022	0,029	
100	0,028	0,078	0,053		100	0,034	0,028	0,031	
125	0,029	0,097	0,063		125	0,025	0,031	0,028	
160	0,032	0,072	0,052		160	0,033	0,031	0,032	
200	0,025	0,067	0,046		200	0,042	0,033	0,037	
250	0,028	0,069	0,049		250	0,039	0,032	0,036	
315	0,026	0,058	0,042		315	0,025	0,031	0,028	
400	0,027	0,036	0,031		400	0,032	0,028	0,030	
500	0,021	0,045	0,033		500	0,019	0,026	0,022	
630	0,024	0,040	0,032		630	0,029	0,024	0,026	
800	0,023	0,039	0,031		800	0,038	0,023	0,031	
1000	0,021	0,036	0,028		1000	0,029	0,025	0,027	
1250	0,020	0,038	0,029		1250	0,032	0,026	0,029	
1600	0,019	0,033	0,026		1600	0,030	0,021	0,025	
2000	0,022	0,031	0,027		2000	0,026	0,020	0,023	
2500	0,021	0,029	0,025		2500	0,028	0,021	0,025	
3150	0,022	0,026	0,024		3150	0,028	0,021	0,024	
4000	0,019	0,021	0,020		4000	0,023	0,019	0,021	
5000	0,014	0,020	0,017		5000	0,022	0,021	0,021	



**Abbildung 6**  $\eta_{tot}$ : Horizontaler T-Stoß – BSP Decke durchlaufend, ohne Beplankung: Messdaten  $\eta_{tot,D}$  mit zugehörigen Messkurven (links), Messdaten  $\eta_{tot,f}$  mit zugehörigen Messkurven (rechts)